



## مطالعه آزمایشگاهی واکنش تبدیل اتیلن به پروپیلن با استفاده از کاتالیست غربال مولکولی و تثبیت کاتالیست اکسید مس بر پایه CUO/NH<sub>4</sub>-ZSM-5

احسان کیانفر

دکتری مهندسی شیمی، گروه مهندسی شیمی، دانشگاه ازاد اسلامی واحد اراک، اراک، ایران

ehsan\_kianfar2010@yahoo.com

ارسال: اردیبهشت ۹۷ پذیرش: خرداد ۹۷

### چکیده

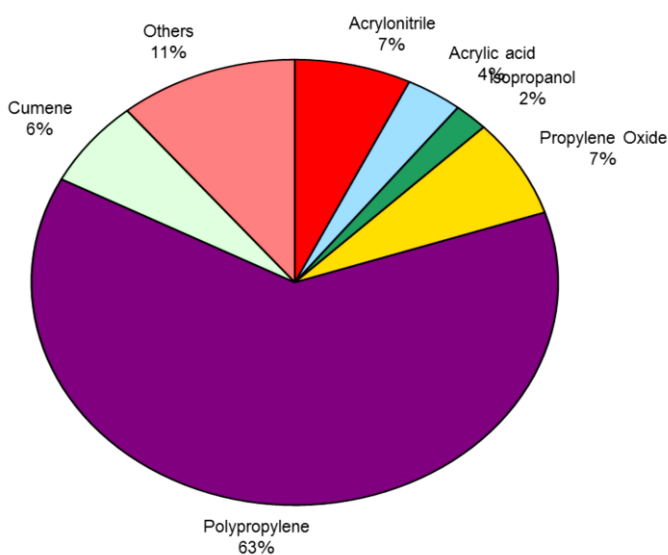
در تحقیق حاضر پایه زئولیتی NH<sub>4</sub>-ZSM-5 برای تولید اولفین های سبک در فرآیند تبدیل اتیلن به پروپیلن و همچنین به منظور اصلاح کاتالیست از فلز اکسید مس استفاده شد. برای این منظور پس از بارگذاری فلز اکسید مس به روش تلقیح، مشخصات کاتالیست اصلاح شده به وسیله آنالیزهای SEM، XRD، BET و FT-IR تعیین و مورد بررسی قرار گرفت. فعالیت این کاتالیست در فرآیند تبدیل اتیلن به پروپیلن در یک راکتوربستر ثابت تحت شرایط عملیاتی دمای ۴۰۰ درجه سانتی گراد، فشار ۱۱ اتمسفر، و دبی خوراک ۰/۵ سی سی بر دقیقه از خوراک (اتیلن خالص) ارزیابی شد. نتایج آزمایشات نشان داد برای کاتالیست اصلاح شده گرینش پذیری اتیلن و پروپیلن با افزایش دما سیر صعودی دارد و بیشترین گرینش پذیری در دمای ۴۰۰°C حاصل شد.

واژه های کلیدی: فرآیند تبدیل اتیلن به پروپیلن، راکتور بستر ثابت، کاتالیست NH<sub>4</sub>-ZSM-5

### ۱ - مقدمه

اولفین های سبک، اتیلن و پروپیلن، ترکیبات کلیدی در صنایع پتروشیمی هستند که جهت تولید پلیمرها و مواد شیمیایی مختلف مورد استفاده قرار می گیرند. پروپیلن، به عنوان یکی از خوراک های اصلی فرایندهای پتروشیمی، دارای مصارف گسترده ای می باشد. همانطور که در شکل (۱) مشاهده می شود، این ماده ۶۳٪ برای تولید پلیپروپیلن، ۷٪ برای تولید اکریلو نیتریل، ۷٪ برای تولید پروپیلن اکساید، ۶٪ برای تولید کیومن<sup>۱</sup>، ۴٪ برای تولید اکریلیک اسید، ۲٪ برای تولید ایزوپروپانول و ۱۱٪ برای تولید سایر محصولات شیمیایی مصرف می شود [۱].

<sup>1</sup> Cumene



شکل ۱- محصولات تولید شده از پروپیلن [۱]

اولفین‌ها را می‌توان از طریق فرآیندهای مختلف و با مواد اولیه متفاوت تولید کرد. نقطه مشترک همه این فرآیندها تولید محصول در دامنه وسیعی از مواد تولید شده و تولید محصولات جانبی می‌باشد. علاوه بر فرآیندهای صنعتی مذکور، تکنولوژی‌های غیرصنعتی دیگری نیز در مراحل مختلف توسعه می‌باشند که از آن جمله می‌توان به زوج شدن اکسایشی متان، هیدروژن زدایی از پروپان برای تولید پروپیلن، کراکینگ اولفین‌های سنگین کم ارزش مانند C<sub>4</sub>/C<sub>5</sub> و تبدیل متانول به اولفین‌های سبک، اشاره کرد [۲-۶]. در کشورهای مختلف با توجه به دسترسی به منابع مختلف هیدروکربنی استراتژیهای مختلفی نیز به منظور تولید اولفین‌ها انتخاب می‌گردد به طوری که بعد از کشف این استراتژیها نسبت تولید پروپیلن به اتیلن در واحدهای کراکینگ با بخار به شدت کاهش پیدا کرده است و این امر سبب شد که بازار تجاری پروپیلن دچار تنگناهایی گردد. هر چند که کراکینگ حرارتی نفتا فرایند اصلی در تولید اولفین‌های سبک مثل پروپیلن می‌باشد تکنولوژی‌های دیگر از قبیل کراکینگ کاتالیستی بستر سیال و کراکینگ حرارتی اتان را می‌توان نام برد که این روش‌ها تحت عنوان روش‌هایی با بازدهی پایین طبقه بندی می‌شوند [۷-۱۰]. از آنجا که فرآیند کراکینگ بخار در دمای بالا در حدود ۸۰-۸۰°C انجام می‌شود و تقریباً ۴۰ درصد انرژی کل مصرفی را هر ساله تمامی صنایع پتروشیمی همراه با انتشار مقدار بالای دی‌اکسید کربن به خود اختصاص می‌دهند. با توسعه تکنیک‌های پیشرفته‌تر، نه تنها مصرف انرژی را باید به حداقل رساند بلکه با استفاده از این روش‌ها تحت عنوان روش‌هایی با بازدهی پایین طبقه بندی می‌شوند [۱۱-۱۷]. در این تحقیق، کاتالیست انتشار این گاز را هم کاهش داد که این امر می‌تواند یک مسئله مهم برای حفظ محیط زیست باشد.

زئولیت با فلز اکسید مس به روش تلقیح اصلاح و عملکرد آن در فرایند تولید پروپیلن از اتیلن در یک راکتور بستر ثابت کاتالیستی ارزیابی می‌شود.

۱- مایا و همکاران اصلاح ZSM-5 با نیکل را به منظور تولید اولفین‌های سبک با استفاده از ایزو و نرم‌مال بوتان بررسی کردند. نیکل (ین ۴۰ تا ۶ درصد وزنی) به دو روش تلقیح خشک و تبادل یونی به زئولیت HZSM-5 اضافه شد. هر دو روش تاثیرات قابل توجهی بر روی گزینش پذیری اتیلن و توانایی شکست ایزو بوتان گذاشتند. برای ZSM-5/Ni با ۱ درصد نیکل توانایی شکست کاتالیست دو برابر شد. آنها گزارش دادند که در واکنش ایزو بوتان، اتیلن جزء محصولات اولیه نیست بلکه عمدتاً اولفین‌های سنگین تر (عمدتاً بوتن) بر

روی سایت های نیکل تشکیل می شوند، سپس این مولکول های سنتگین تر به اتیلن تجزیه می شوند.<sup>[۲۰]</sup> هم چنین مجاورت بین سایت های اسیدی و سایت های نیکل به طور وسیعی توانایی شکست و گزینش پذیری اتیلن را افزایش می داد.<sup>[۷]</sup>

۲- واکوی و همکاران [۲۱] اثر افزایش عناصر خاکی کمیاب را بر عملکرد HZSM-5 در شکست کاتالیستی نرمال بوتان بررسی کردند. آنها گزارش کردند که اصلاح HZSM-5 با عناصر خاکی کمیاب تشکیل آروماتیک ها مثل BTX را متوقف و در نتیجه گزینش پذیری اولفین های سبک مثل اتیلن و پروپیلن را بهبود می بخشد. نتایج آن ها نشان داد که سایت های فعال به وسیله این عناصر بر سطح زئولیت به وجود می آیند در حالی که مشخصات اسیدی زئولیت تغییر خاصی نمی کند. جلوگیری از جذب اولفین ها به وسیله اکسید این عناصر از دلایل اصلی کاهش تشکیل آروماتیک ها می باشد. اکسید این فلزات در سطح زئولیت ته نشین شده و از جذب مجدد اولفین ها جلوگیری می کنند. آنها نشان دادند که گزینش پذیری آروماتیک ها بر روی زئولیت های ZSM-5/La شامل ۱۰٪ وزنی La و P/ZSM-5 شامل ۱۰٪ La و ۲٪ P کاهش می یابد، همچنین گزینش پذیری اتیلن و پروپیلن افزایش می یابد. نتایج نشان داد که گزینش پذیری محصولات بر روی زئولیت P/ZSM-5 شامل ۲ درصد وزنی فسفر بسیار پایین است، بنابراین فسفر اثر منفی بر فعالیت شکست می گذاشت. گزینش پذیری اتیلن و پروپیلن بر روی La-P/ZSM-5 بسیار بالاتر از زئولیت P/ZSM-5 بود.

۳- زو و همکاران [۲۲] شکست کاتالیستی بوتن بر ZSM-5 اصلاح شده با پتاسیم را درون یک میکروراکتور بستر ثابت بررسی کردند. با افزایش پتاسیم به ZSM-5، میزان تبدیل و گزینش پذیری اتیلن به طور خطی کاهش یافت، در حالی که گزینش پذیری پروپیلن ابتدا افزایش و از یک ماکریم عبور می کرد و به حدود ۵۰ درصد می رسید. اصلاح زئولیت با پتاسیم و افزایش به خوراک باعث افزایش گزینش پذیری پروپیلن می شد ولی پایداری کاتالیست بهبود قابل توجهی پیدا نمی کرد. از سوی دیگر افزودن آب به خوراک، باعث افزایش پایداری K/ZSM-5٪۰.۷ به دلیل افزایش حذف کک از کاتالیست می شد ولی میزان تبدیل خوراک افزایش نمی یافت. ۴- کنیچی و همکاران [۲۳] HZSM-5 را با عناصر خاکی کمیاب به منظور شکست کاتالیستی نرمال بوتان بررسی کردند. آنها گزارش دادند که تشکیل عناصر BTX بعد از اصلاح با عناصر خاکی کمیاب متوقف می شود و گزینش پذیری اولفین های سبک افزایش می یابد.

## ۲- مواد و روشها

### ۱-۱- مواد

مواد شیمیایی مورد استفاده از گرید آزمایشگاهی و خلوص مطلوب برخوردار بودند. جدول (۱) مشخصات مواد شیمیایی و نام شرکت های تولید کننده را نشان می دهد. در تمامی آزمایشات آب دی یونیزه در آزمایشگاه تهیه و مورد استفاده قرار گرفت.

## جدول ۱- مشخصات مواد شیمیایی جهت تهیه و اصلاح کاتالیست

مواد شیمیایی	فرمول	شرکت سازنده	کاربرد
آلومینات سدیم	$\text{NaAlO}_2$	Riedel-deHaen	سترنر زئولیت
اسید سیلیسیک	$\text{H}_4\text{O}_4\text{Si}$	مرک	سترنر زئولیت
تترا پروپیل آمونیوم بروماید	$\text{C}_{16}\text{H}_{36}\text{BrN}$	مرک	سترنر زئولیت
هیدروکسید سدیم	$\text{NaOH}$	مرک	سترنر زئولیت
اکتن	$\text{C}_2\text{H}_4$	مرک	خوراک
نیترات آمونیوم	$(\text{NH}_4)(\text{NO}_3)$	مرک	تبادل یونی
اتانول	$\text{C}_2\text{H}_6\text{O}$	مرک	اصلاح کاتالیست
اکسید مس	$\text{Cu}(\text{NO}_3)_2$	مرک	اصلاح کاتالیست

۲-۲- روش سنتز کاتالیست زئولیت ۵-NH<sub>4</sub>-ZSM-5

برای سنتز زئولیت ۵-ZSM، مقدار لازم از آلومینات سدیم به محلول یکنواخت هیدروکسید سدیم تهیه شده افزوده شده و به مدت ۶۰ دقیقه عملیات اختلاط انجام شد ( محلول الف )، سپس مقدار مورد نیاز تترا پروپیل آمونیوم بروماید به محلول یکنواخت هیدروکسید سدیم تهیه شده افزوده شده و محلول به مدت ۳۰ دقیقه تحت اختلاط قرار گرفت، پس از زمان مذکور اسید سیلیسیک و آب دی یونیزه به آرامی به محلول اضافه شد و به مدت ۳۰ دقیقه تحت اختلاط قرار گرفت ( محلول ب ). پس از تهیه دو محلول، آن ها را به هم افزوده و به مدت ۶۰ دقیقه عمل اختلاط انجام شد، پس از این زمان ژل نهایی داخل توکلاو استیل با لایه داخلی تفلون ریخته شده و در دمای ۱۸۰°C داخل آون قرار گرفت. در نهایت محتویات راکتور فیلتر شده و شستشو داده شده و در دمای ۱۱۰°C به مدت ۱۲ ساعت خشک و عملیات تکلیس در دمای ۵۰۰°C به مدت ۵ ساعت انجام شد. برای تبادل یونی NH<sub>4</sub>-ZSM-5 از محلول یک مولار نیترات آمونیوم تهیه و در دمای ۱۱۰°C به مدت ۶ ساعت حرارت داده شد و در مرحله‌ی بعد فوم سیلیکا در حین اختلاط به محلول اضافه شد. پس از ۲۴ ساعت اختلاط، ژل حاصل به درون توکلاو ریخته شد و به مدت ۶ روز در دمای ۱۵۰°C درجه سانتی گراد حرارت داده شد. در نهایت با استفاده از فیلتراسیون و شستشو با آب مقطر ماده جامد ۵-NH<sub>4</sub>-ZSM حاصل سپس به مدت ۱۲ ساعت و در دمای ۱۱۰ درجه سانتی گراد خشک شد. عملیات تکلیس نیز در دمای ۵۰۰°C به مدت ۵ ساعت انجام گرفت.

۳-۲- روش ثبیت کاتالیست اکسید مس بر پایه NH<sub>4</sub>- ZSM-5

برای سنتز کاتالیست اکسید مس بر پایه NH<sub>4</sub>- ZSM-5 به روش سونوشیمی از نمک نیترات مس به عنوان ماده‌ی اولیه برای اکسید مس استفاده شد. برای این منظور مقدار لازم از نیترات مس برای تهیه درصدهای وزنی  $\text{ta } 9$  درصد در آب دی یونیزه حل و میزان مطلوب اتانول به محلول اضافه شد. سپس NH<sub>4</sub>- ZSM-5 سنتز شده داخل محلول ریخته و تا رسیدن PH به ۵ و پایدار شدن آن محلول آمونیاک ۱ مولار به محلول اضافه شد. پس از پایدار شدن PH مخلوط تحت امواج التراسونیک با جریان پالس به مدت ۱۸۰ دقیقه و با توان ۵۰۰ وات و فرکانس ۵۰ هرتز قرار گرفت. برای خنک کردن بشر حاوی محلوت واکنش از حمام آب و یخ استفاده شد. پس از

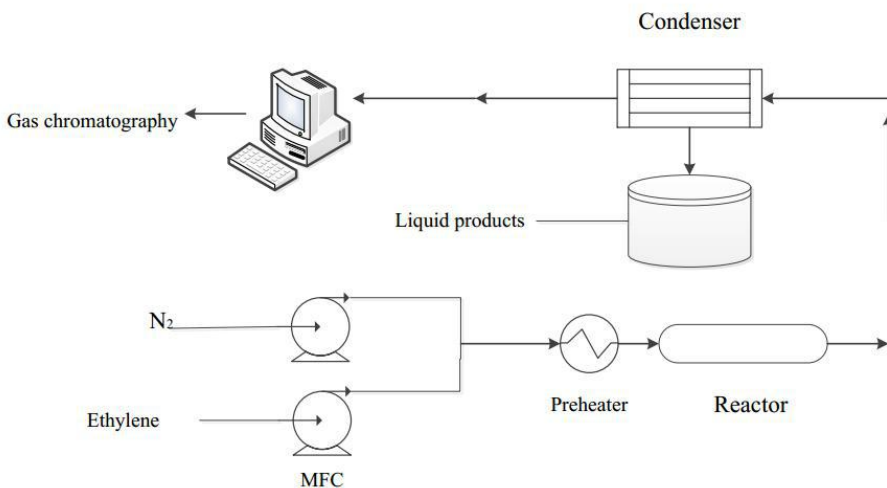
زمان ذکر شده مخلوط داخل آون در دمای  $110^{\circ}\text{C}$  و به مدت ۱۲ ساعت قرار داده شد. سپس تکلیس در دمای  $55^{\circ}\text{C}$  و به مدت ۵ ساعت انجام گرفت.

#### ۴-۲- روشهای تعیین مشخصات سنتز و تبییت کاتالیست $\text{NH}_4\text{-ZSM-5}$ بر پایه

به منظور آگاهی از سطح مخصوص کاتالیست از آنالیز BET(CHEMBET 3000) استفاده شد. بررسی فازهای کریستالی با استفاده از آنالیز اشعه ایکس برای تعیین ساختار کریستالی توسط دستگاه XRD مدل D5000 ساخت شرکت زیمنس آلمان با سرعت روبشی  $40\text{ mA}$  در  $0\text{--}80^{\circ}\text{C}$  با محدوده  $2\theta$  بین  $10^{\circ}$  و  $80^{\circ}$  درجه با استفاده از تشعشع Cu- $\text{k}\alpha$  با طول موج  $0.154056\text{ nm}$  در  $30\text{ kV}$  و  $40\text{ mA}$  انجام شده است. آنالیز طیف جذب FTIR نمونه با استفاده از طیف Elmer FT-IR مدل parking تست KBr بود. این نمونه به روش قرص گردید. آنالیز SEM برای تعیین مورفولوژی و اندازه‌ی ذرات و ترکیب عناصر با استفاده از میکروسکوپ الکترونی-انتشار فیلد (FE SEM) مدل HITACHI S-4160 مورد بررسی قرار گرفت.

#### ۴-۳- طراحی و ساخت سیستم آزمایشگاهی جهت ارزیابی عملکرد کاتالیست

جهت تبدیل کاتالیستی اتیلن به پروپیلن پایلوتی طراحی و ساخته شده است. شکل(۱) قسمت‌های مختلف پایلوت مذکور را نشان می‌دهد. در این پایلوت امکان تزریق همزمان مایع و گاز وجود داشته، و سیستم دقیقی از کنترل دما برای میکروراکتور و کوره الکتریکی در نظر گرفته شده است. قابلیت تنظیم و کنترل دبی جریان‌های گاز و مایع برای ایجاد زمان ماندهای مختلف اتیلن در پایلوت وجود دارد.



شکل ۱- سیستم آزمایشگاهی جهت بررسی عملکرد کاتالیست‌های سنتز شده در تبدیل اتیلن به پروپیلن

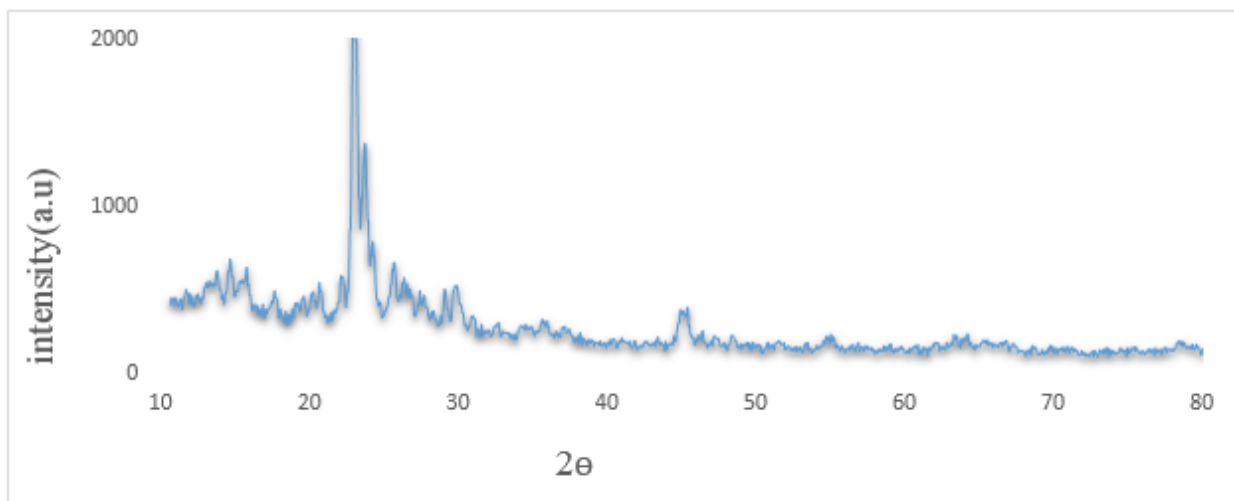
به منظور انجام واکنش تبدیل اتیلن به پروپیلن از راکتور بستر ثابت با جنس فولاد ضد زنگ به طول  $500\text{ mm}$ ، قطر داخلی  $7\text{ mm}$ ، قطر خارجی  $9\text{ mm}$ ، در دمای  $400^{\circ}\text{C}$  و فشار ۱ اتمسفر استفاده شد. جریان کم نیتروژن نیز برای توزیع بهتر و ممانعت از برگشت اتیلن تبخیر شده، مورد استفاده قرار گرفت. جهت بررسی کارایی کاتالیست‌های سنتز شده، پارامترهای مقدار کاتالیست و دبی خوراک

وروودی به ترتیب در ۱ گرم و ۰/۵ سی سی بر دقیقه ثابت نگه داشته شد. درصد هیدروکربنهای موجود در محصول خروجی از میکروراکتور جهت تعیین نوع هیدروکربنهای تولید شده، توسط دستگاه کروماتوگرافی گازی Varian مدل Cp-3800 ساخت Petrocol آمریکا اندازه گیری شده است. دستگاه کروماتوگراف گازی در کار حاضر، دارای شناساگر FID بوده و ستون آن DH با ۶۰ متر و قطر ۰/۲۵ میلی متر می باشد. گاز هلیوم به عنوان گاز حامل استفاده شده است.

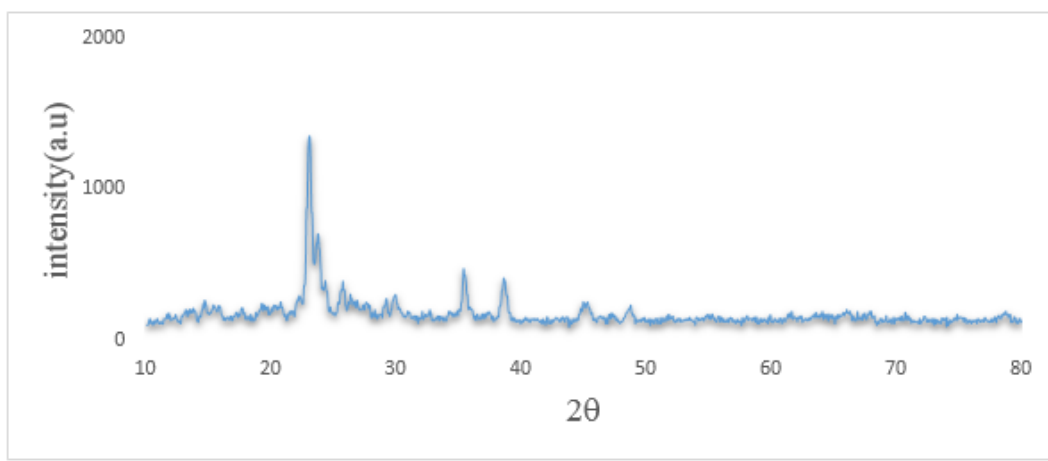
### ۳- تعیین خصوصیات کاتالیست سنتز شده جهت تبدیل اتیلن به پروپیلن

#### ۳-۱- آنالیز XRD

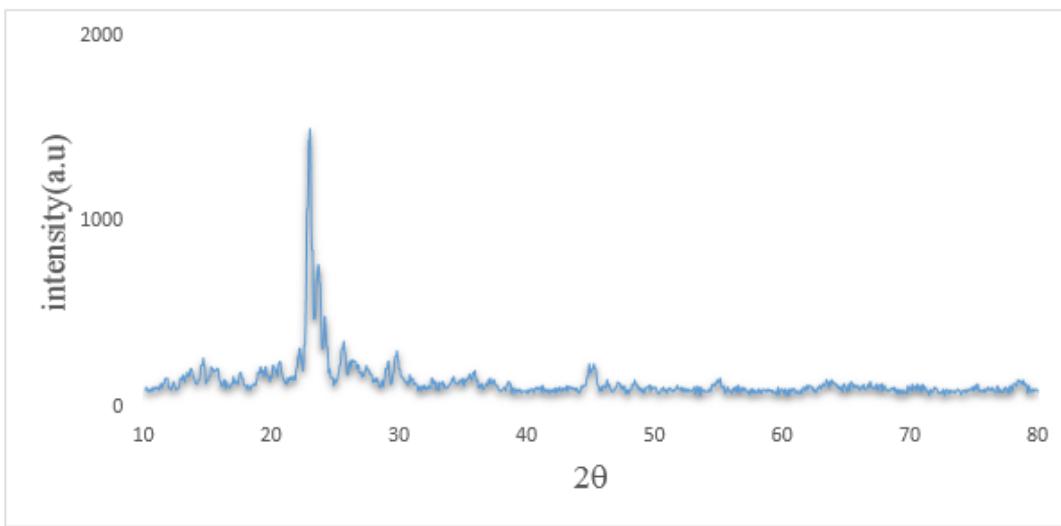
شکل های (۲) تا (۵) طیف های XRD برای زئولیت NH<sub>4</sub>-ZSM-5 را نشان می دهند. همان گونه که مشاهده می شود طیف دارای پیک های شاخص مربوط به زئولیت-5 NH<sub>4</sub>-ZSM می باشد. بلورینگی نسبی این کاتالیست نسبت به یک مرجع و با در نظر گرفتن پیک های شاخص بین زاویه ۲۲ تا ۲۵ درجه محاسبه شدند. با توجه به داده های JCPDS با کد مرجع 00-044-0002 برای زئولیت ZSM-5، پیکهای شاخص این نمونه در ۰۲θ برابر ۸, 9, 14, 14.7, 23.1, 24, ۳۰ تا ۲۲ مشاهده شده است و حاکی از تشکیل زئولیت می باشد. سیستم کریستالی ZSM-5 تشکیل شده به صورت تراگونال می باشد. مقایسه داده های پراش سنجی اشعه ایکس نمونه زئولیت ساخته شده، حضور فاز کریستالی NH<sub>4</sub>-ZSM-5 را در ساختار در بلورین آن نشان می دهد. همان طور که شکل های (۲) تا (۵) نشان می دهد با افزوده شدن اکسید مس بر روی پایه کاتالیست NH<sub>4</sub>-ZSM-5 مورد بررسی قرار گرفته است. نتایج نشان می دهد که زئولیت NH<sub>4</sub>-ZSM-5 با افزودن اکسید مس تا ۹ درصد وزنی ساختار MFI خود را حفظ می کند و ساختار همچنان دارای بلورینگی قابل قبولی است. آرمارولی و همکاران ادعا کردند که با کاهش اندازه کریستال، ساختار شبکه دارای نقص بیشتر شده و این نقص بیشتر شبکه باعث کاهش شدت پیک ها شده است[۱۸].



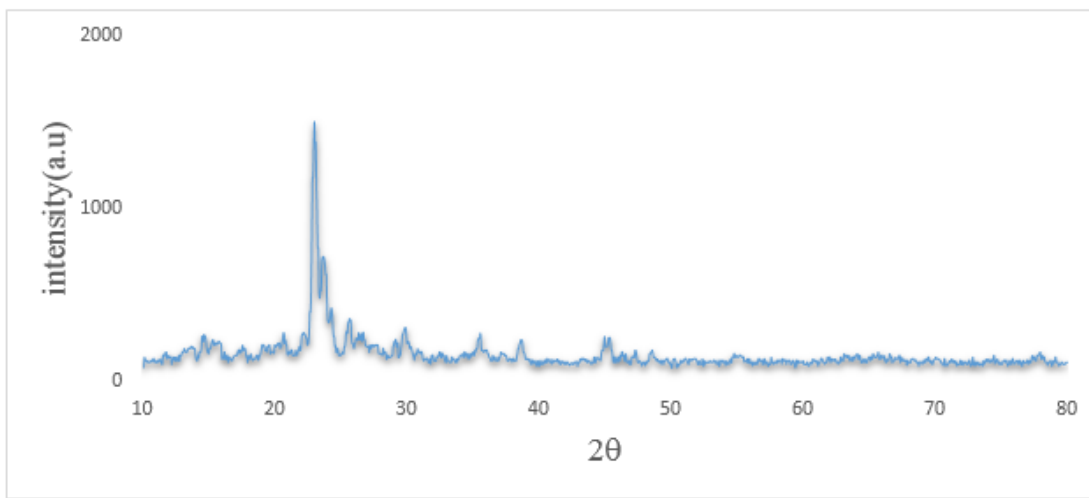
شکل ۲- الگوی XRD کاتالیست ساخته شده



شکل ۳- الگوی XRD کاتالیست ثبیت شده ۹ درصد اکسید مس بر پایه ZSM-5-NH<sub>4</sub>



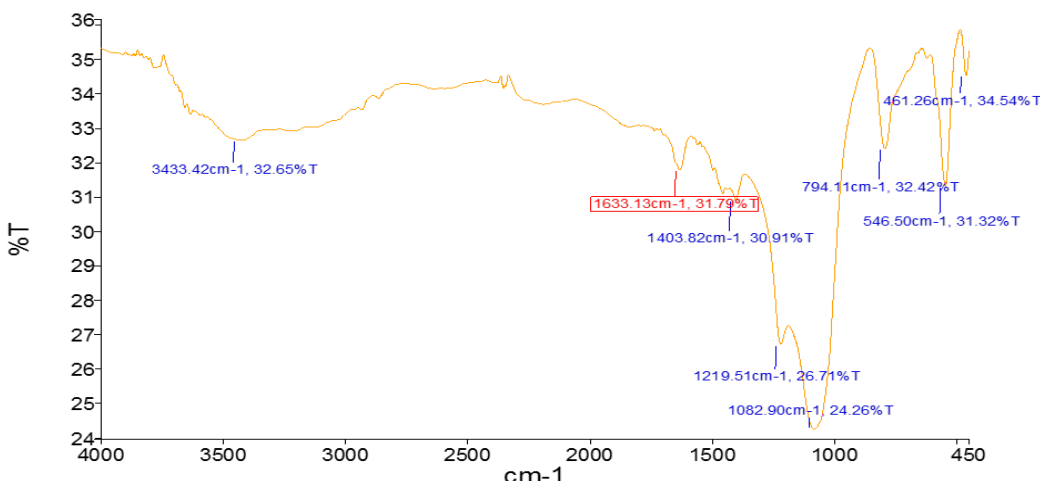
شکل ۴- الگوی XRD کاتالیست ثبیت شده ۷ درصد اکسید مس بر پایه ZSM-5-NH<sub>4</sub>



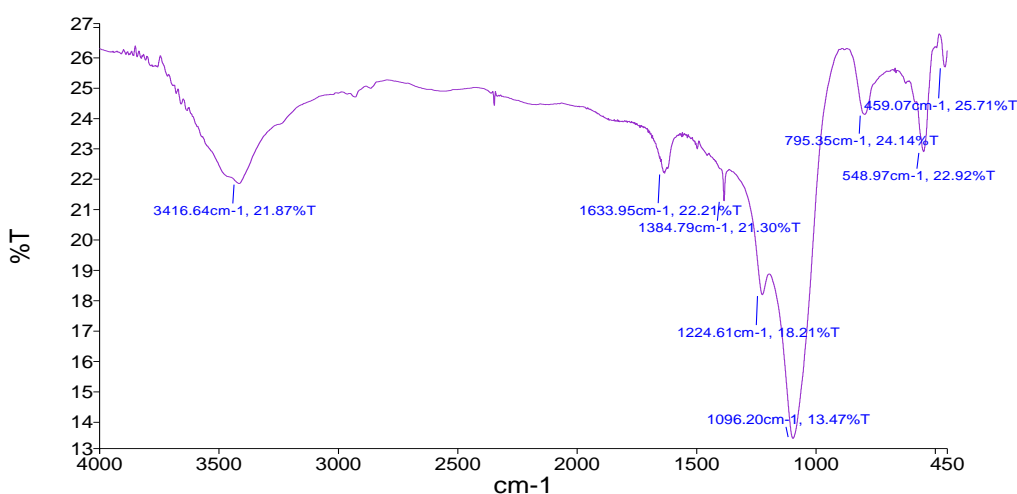
شکل ۵- الگوی XRD کاتالیست ثبیت شده ۵ درصد اکسید مس بر پایه ZSM-5-NH<sub>4</sub>

## ۴-۲- آنالیز FT-IR

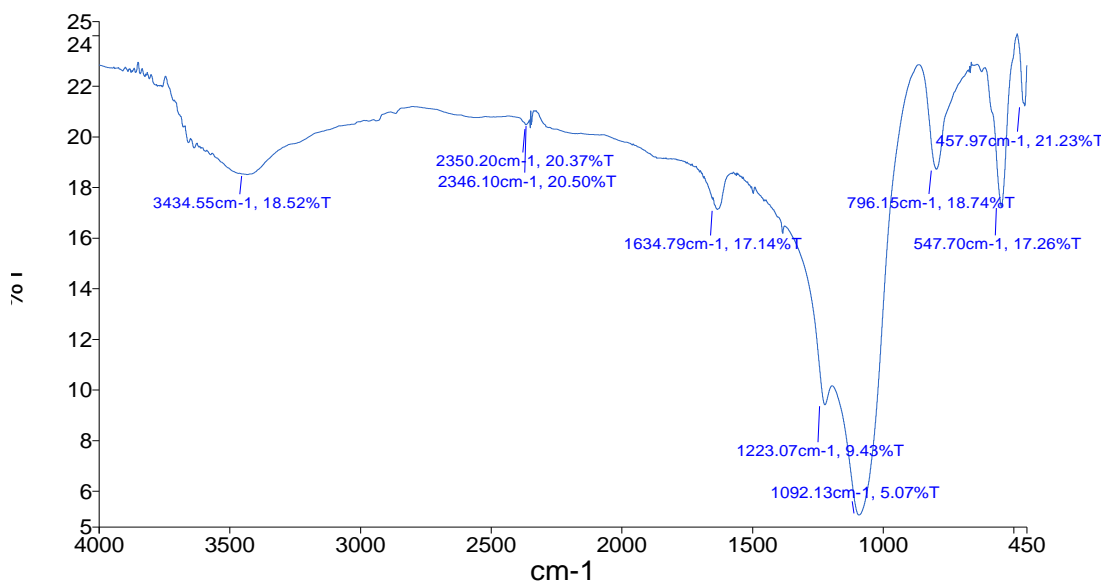
طیف سنجی آنالیز FT-IR زئولیت NH<sub>4</sub>-ZSM-5 در شکل های (۶) تا (۹) نشان شده است. در طیف FT-IR زئولیت ها دو دسته پیک دیده می شود. دسته اول پیک های که به ارتعاشات داخلی TO<sub>4</sub> یعنی واحد اولیه ساختار اختصاص دارند. منظور از T، عنصر موجود در ساختار زئولیت که متصل به اکسیژن هاست می باشد (مثل Si, Al). این پیک ها معمولاً در ناحیه ۹۵۰-۱۲۵۰ Cm<sup>-1</sup> و ۵۰۰-۴۲۰ Cm<sup>-1</sup> قرار دارند و به ترتیب به ارتعاش کششی O-T-O و O-T-O نسبت داده می شوند. دسته دوم ارتعاشاتی هستند که به اتصالات چهار وجهی ها مربوط هستند اولین پیک مشاهده شده از پیک های دسته دوم در ناحیه ۱۷۰۰-۱۳۰۰ Cm<sup>-1</sup> می شود. با بزرگ نمایی طیف FT-IR که در شکل های (۷) تا (۱۱) مشاهده می شود به بررسی دقیق ترکیب های جذبی در حوالی ۳۴۳۲ Cm<sup>-1</sup> که به پیوند هیدروکسید مربوط می شود پرداخته شده است. این طیف شامل ۳ پیک در حوالی منطقه کششی گروه OH در عدد موجی ۳۷۳۲Cm<sup>-1</sup> و ۳۶۱۰ Cm<sup>-1</sup> می باشد. پیوند مشاهده شده در ۳۷۳۲Cm<sup>-1</sup> مربوط به گروه سیلان (Si-OH) و پیوند ۳۶۱۰ Cm<sup>-1</sup> مربوط به پل هیدروکسیل های اسیدی زئولیت و پیوند ۳۴۳۲ Cm<sup>-1</sup> مربوط به گروه عاملی AL-OH می باشد.



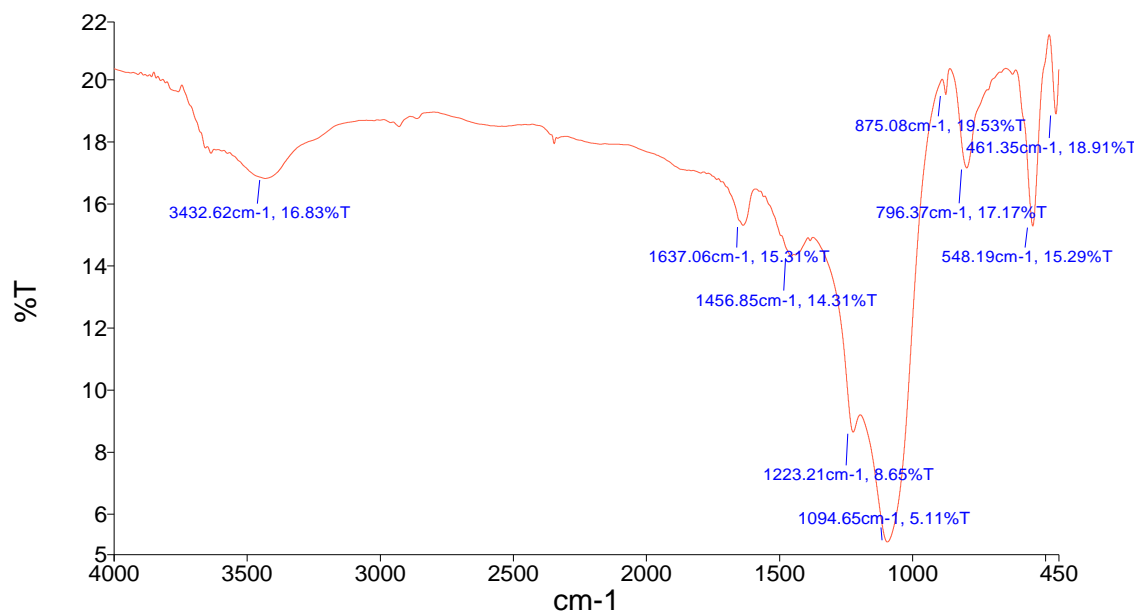
شکل ۶- الگوی نتایج آنالیز FT-IR کاتالیست ساخته شده



شکل ۷- الگوی نتایج آنالیز FT-IR کاتالیست ثبت شده در صد اکسید مس



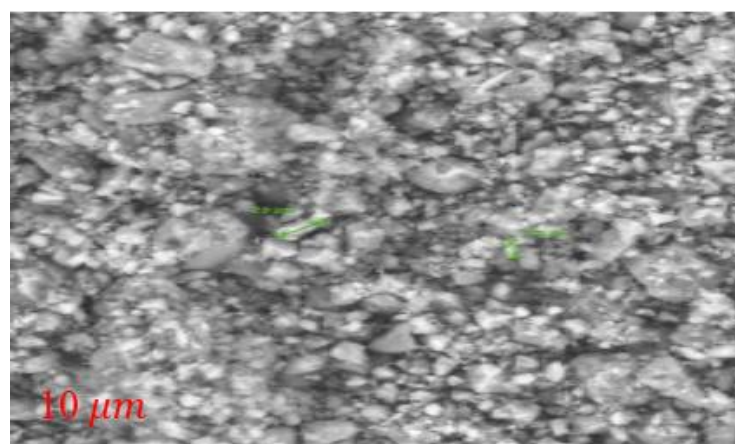
شکل ۸- الگوی نتایج آنالیز FT-IR کاتالیست ثبیت شده ۷درصد اکسید مس



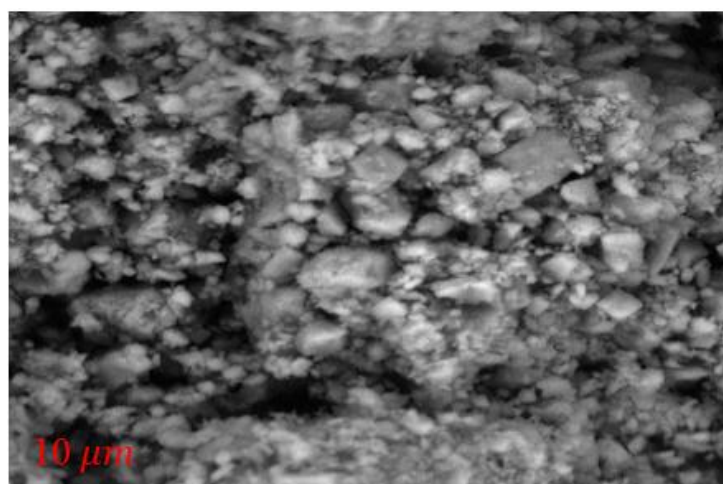
شکل ۹- الگوی نتایج آنالیز FT-IR کاتالیست ثبیت شده ۵درصد اکسید مس

### ۳-۳- نتایج آنالیز SEM

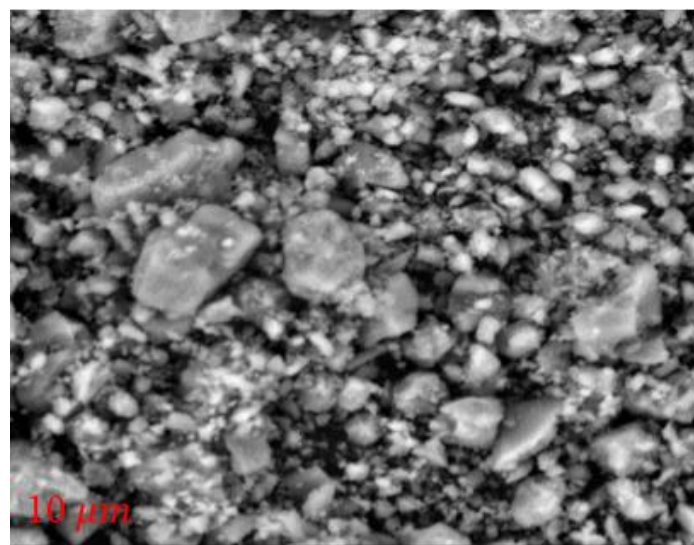
تصاویر SEM کاتالیست های کلسینه شده با بزرگ نمایی  $10 \mu\text{m}$  در شکل های ۱۰ تا ۱۳ نشان داده شده است. همانطوریکه از میکروگراف مشاهده می شود کریستالهای نمونه ساخته شده از پراکندگی خوب برخوردار بوده و مورفولوژی کریستالها منظم است. این نتایج در توافق خوبی با اندازه کریستالی برآورد شده توسط داده های XRD می باشد.



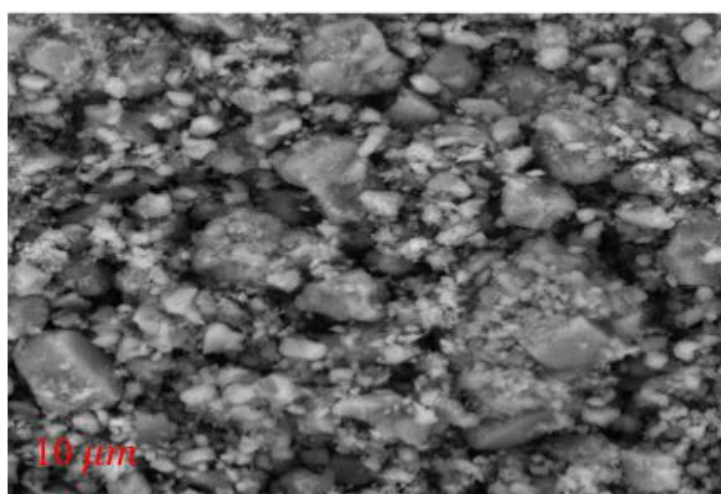
شکل ۱۰- تصویر SEM کاتالیست ستر شده



شکل ۱۱- تصویر SEM کاتالیست اصلاح شده با ۹ درصد اکسید مس



شکل ۱۲- تصویر SEM کاتالیست اصلاح شده با ۷ درصد اکسید مس



شکل ۱۳- تصویر SEM کاتالیست اصلاح شده با ۵ درصد اکسید مس

**۴-۳- نتایج آنالیز BET**

جهت تعیین سطح ویژه، اندازه و حجم حفرات آنالیز BET بر روی نمونه ها انجام شد. مشخصات کاتالیست های ۵-NH<sub>4</sub>-ZSM-5 و CUO/NH<sub>4</sub>-ZSM-5 با درصد های مختلف اکسید مس در جدول ۲ بیان شده است.

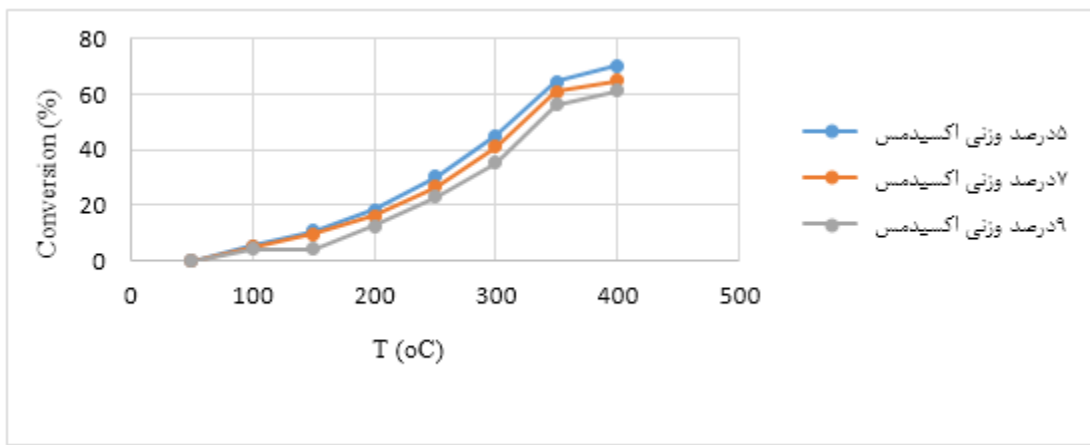
جدول ۲- آنالیز BET کاتالیست های سنتز شده

کاتالیست	مساحت سطح ویژه (m <sup>2</sup> /g)	حجم حفرات (cm <sup>3</sup> /g)
NH <sub>4</sub> -ZSM-5	۳۰۰	۰/۳۹
CUO/NH <sub>4</sub> -ZSM-5(%۵)	۲۶۵	۰/۳۶
CUO/NH <sub>4</sub> -ZSM-5(%۷)	۲۵۴	۰/۳۳
CUO/NH <sub>4</sub> -ZSM-5(%۹)	۲۰۴	۰/۳۱

نتایج حاصل از آنالیز BET نشان می دهد سطح ویژه کاتالیست CUO/NH<sub>4</sub>-ZSM-5 با افزایش مقدار اکسید مس تا ۹ درصد از ۳۰۰ به ۲۰۴ m<sup>2</sup>/g کاهش می باید و همچنین حجم حفرات کل از ۰/۳۹ به ۰/۳۱ سانتی متر مکعب بر گرم کاهش می یابد.

**۴-۴- اثر دما روی درصد تبدیل اتیلن با کاتالیست CUO/NH<sub>4</sub>-ZSM-5**

درصد تبدیل اتیلن به پروپیلن در دماهای مختلف با کاتالیست های ۵-NH<sub>4</sub>-ZSM-5 اصلاح شده با فلز اکسید مس در شکل (۱۴) نشان داده شده است.

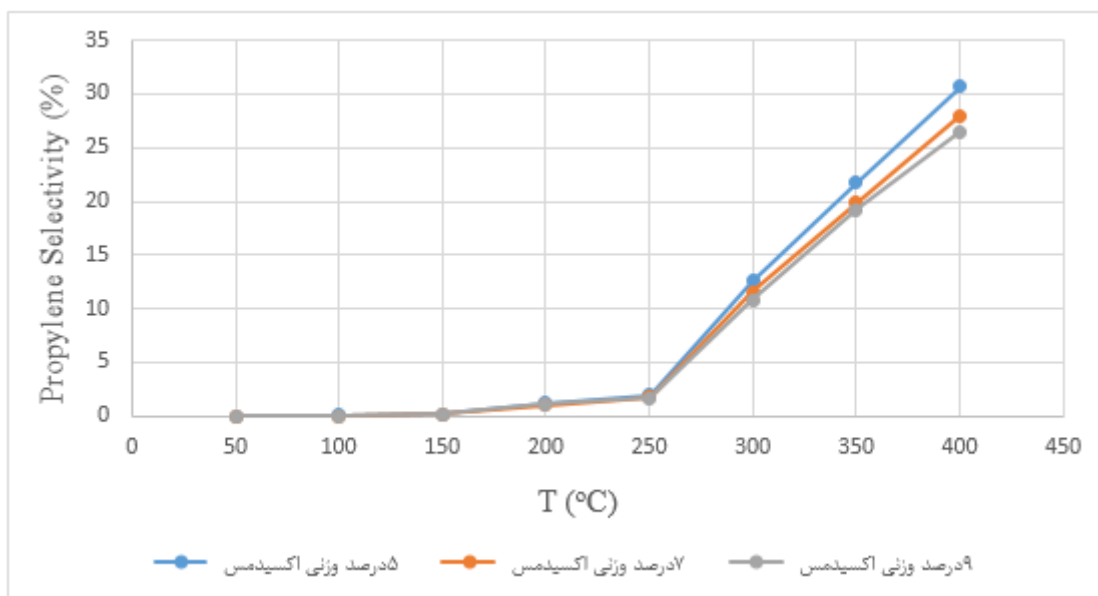


شکل ۱۴- درصد تبدیل اتیلن بر حسب دما

همانطور که در شکل مشاهده می شود با افزایش دما درصد تبدیل اتیلن افزایش می یابد و سیر صعودی مشاهده می گردد. ماکریم درصد تبدیل را می توان در دمای  $400^{\circ}\text{C}$  و کمترین درصد تبدیل را در دمای  $50^{\circ}\text{C}$  مشاهده کرد. کاتالیست با ۵٪ وزنی اکسید مس دارای بیشترین میزان تبدیل بهتری نسبت به درصدهای دیگر می باشد.

### ۳-۶- اثر دما بر میزان گزینش پذیری پروپیلن با کاتالیست CUO / NH<sub>4</sub>-ZSM-5

اثر دما بر گزینش پذیری پروپیلن روی کاتالیست های NH<sub>4</sub>-ZSM-5 اصلاح شده با فلز اکسید مس در شکل ۱۵ نشان داده شده است.



شکل ۱۵- گزینش پذیری پروپیلن بر حسب دما

همانطور که مشاهده می شود با افزایش دما تا  $150^{\circ}\text{C}$ ، برای هر سه نوع کاتالیست گزینش پذیری گزینش پذیری تقریباً صفر است و از دمای  $200^{\circ}\text{C}$  تا  $250^{\circ}\text{C}$  با شبی خیلی کم گزینش پذیری به مقدار اندکی، حدود ۱ درصد خواهیم داشت و از دمای  $250^{\circ}\text{C}$  با افزایش دما درصد گزینش پذیری افزایش پیدا می کند و سیر صعودی به همراه خواهد داشت. بیشترین گزینش پذیری در دمای  $400^{\circ}\text{C}$  و کمترین گزینش پذیری، در محدوده دمایی  $150^{\circ}\text{C}$  تا  $50^{\circ}\text{C}$  قابل مشاهده می باشد. کاتالیست با ۵٪ وزنی اکسید مس دارای گزینش پذیری بهتری نسبت به درصدهای دیگر می باشد.

#### ۴- نتیجه گیری

در این تحقیق برای تولید اولفین های سبک از زئولیت  $\text{NH}_4\text{-ZSM-5}$  به عنوان پایه کاتالیستی استفاده شد. هم چنین از فلز اکسید مس به منظور بهبود عملکرد کاتالیست استفاده شد. نتایج حاصل از شکست کاتالیستی با استفاده از کاتالیست مذکور، افزایش گزینش پذیری اولفین های سبک نسبت به شکست حرارتی در دمای مختلف را نشان داد. نتایج آنالیزهای XRD، BET، FTIR و SEM بر روی بعضی از نمونه های اصلاح شده نشان داد که ساختار کاتالیست بعد از افزودن اکسید مس تخریب نشده است. همچنین نتایج بدست آمده حاوی این مطلب است که گزینش پذیری اتیلن و پروپیلن بر روی کاتالیست با فلزات اصلاحی اکسید مس با افزایش دما سیر صعودی خواهد داشت و بیشترین گزینش پذیری در دمای  $400^{\circ}\text{C}$  حاصل می گردد.

#### ۵- مراجع

1. K. Hemelsoet, J. V. Mynsbrugge, K. D. Wispelaere, M. Waroquier, and V. V. Speybroeck, „Unraveling the Reaction Mechanisms governing methanol to olefins catalysis by theory and experiment, , Chemphyschem, 14, 1526 – 1545, (2013)
2. U. Olsbye, S. Svelle, M. Bjørgen, P. Beato, Ton V. W. Janssens, F. Joensen, S. Bordiga, and K. P. Lillerud, Angew. Conversion of methanol to hydrocarbons: how zeolite cavity and pore size controls product selectivity, Chem. Int. Ed., 51, 5810 – 5831,( 2012).
3. A. Al-Shammari, S. Ali, N. Yassir, A. Aitani, K. Ogunronbi, “Catalytic cracking of heavy naphtha-range hydrocarbons over different zeolites structures”, Fuel Processing Technology,122, 12–22, (2014).
4. K. Wakui, K. Satoh, G. Sawada, K. Shiozawa, K. Matano, K. Suzuki, T. Hayakawa, Y. Yoshimura, K. Murata, F. Mizukami, “Dehydrogenative Cracking of n-Butane over Modified HZSM-5 Catalysts”, Catalysis Letters, 81, 83–88, (2012).
5. R.Xu, J.Liu, C. Liang, Wen-hao,” Understanding the enhancement of catalytic performance for olefin cracking: Hydrothermally stable acids in P/HZSM-5” J.Fuel Chemistry and Technology 39, 449-454, (2011).
6. A.J. Maia, B.G. Oliveira, P.M. Esteves, B. Louis, Y.L. Lam, M.M. Pereira, “Isobutane and n-butane cracking on Ni-ZSM-5 catalyst: Effect on light olefin formation”, Applied Catalysis A: General, 403, 58-64, (2011).
7. G. Zhao, J. Teng, Z. Xie, W. Jin, W. Yang, Q. Chen, Y. Tang, ‘Effect of phosphorus on HZSM-5 catalyst for C4-olefin cracking reactions to propylene”, Journal of Catalysis 248, 29–37, (2008).
8. A. Rownaghi, F. Rezaei, J. Hedlund, “Selective formation of light olefin by n-hexane cracking over HZSM-5: Influence of crystal size and acid sites of nano- and micrometer-sized crystals” Chemical Engineering Journal, 191, 528-533, (2012).

9. J. Lee, U. Hong, S. Hwang, M. Youn, I. Song, "Catalytic cracking of C5 raffinate to light olefins over lanthanum-containing phosphorous-modified porous ZSM-5: Effect of lanthanum content", *Fuel ProNissing Technology*, 109, 189-195, (2013).
10. H.Jang, H. Min, S. Hong, G. Seo, "Tetramethylbenzenium radical cations as major active intermediates of methanol-to-olefin conversions over phosphorous-modified HZSM-5 zeolites", *Journal of Catalysis*, 299, 240-248, (2013).
11. S.Y. Han, C.W. f, J.R. Kim, N.S. Han, W.C. Choi, C.H. Shin, Y.K. Park, "Selective formation of light olefins by the cracking of heavy naphtha over acid catalysts", *Fuel*, 153, 157,160, (2014).
12. T.Xue ,Q.Zhang , H.Song "Fluoride-treated H-ZSM5 as a highly selective and stable catalyst for the production of propylene from methyl halides", *Journal of catalysis* , 295,232-241, (2012).
13. N. Xue, L. Nie, D. Fang, X. Guo, J. Shen, W. Ding, "Synergistic effects of tungsten and phosphorus on catalytic cracking of butene to propene over HZSM-5", *Applied Catalysis A: General*, 352, 87-94, (2013).
14. E.Themba, E. M.Tshabalala, S. Scurrell, "Aromatization of n-hexane over Ga , Mo and Zn modified H-zsm5 zeolite catalysts, *Catalysis communication* , 72,49-52, ,(2015).
15. A. Zheng, Z. Zhao, S. Chang, Z. Huang, "Effect of crystal size of ZSM-5 on the aromatic yield and selectivity from catalytic fast pyrolysis of biomass", *Journal of Molecular Catalysis A: Chemical*, 383, 23-30, (2014).
16. S. Majhi, K.K. Pant, "Direct conversion of methane with methanol toward higher hydrocarbon over Ga modified Mo/H-ZSM-5 catalyst", *Journal of Industrial and Engineering Chemistry* 20, 2364–2369, (2014).
17. H. Jang, K. Ha, J. Kim, Y. Sugi, G. Seo, "Ceria and Lanthana as Blocking Modifiers for the External Surface of MFI Zeolite", *Applied Catalysis A: General* 476, 175–185, (2014).
18. N.Aishah, S.Amin, , "Characterization and activity Cr,Cu dified zsm5 for direct converton of metane to liquid hydrocarbons, journal of "Natural Gas Chemistry 12,123-134, (2003).
19. Ehsan Kianfar, "Production and Identification of Vanadium Oxide Nanotubes", *Indian Journal of Science and Technology* 8(S9):455-464,(2015).
20. A.J. Maia, B.G. Oliveira, P.M. Esteves, B. Louis, Y.L. Lam, M.M. Pereira, , "Isobutane and n-butane cracking on Ni-ZSM-5 catalyst: Effect on light olefin formation", *Applied Catalysis A: General*, 403, 58-64, (2011).
21. K. Wakui, K. Sato, G. Sawada, K. Matano, T. Hayakawa, Y. Yoshimura, K. Murata,F. Mizukami, "Cracking of n-Butane Over Alkaline Earth-Containing HZSM-5 Catalysts", *Catalysis Letters*, 84, 259–264, (2002).
22. A. Al-Shammari, S. Ali, N. Yassir, A. Aitani, K. Ogunronbi, (2014), "Catalytic cracking of heavy naphtha-range hydrocarbons over different zeolites structures", *Fuel ProNissing Technology* 122, 12–22.
23. W. Kenichi, S. Ko-ichi, S. Goro, S. Koji, M. Koichi, (1999), "1-Butene cracking to propene over HZSM-5" *Stud. Surf. Sci. Catal.* 125, , 449–456.

# Experimental Study of Conversion of Ethylene to Propylene Using a Molecular Sieve Catalyst and Stabilization of a Copper Oxide Catalyst Based on CUO / NH<sub>4</sub>-ZSM-5

Ehsan Kianfar

PH.D. Department of Chemical Engineering, Arak Branch, Islamic Azad University, Arak, Iran

ehsan\_kianfar2010@yahoo.com

## Abstract

In this research, the NH<sub>4</sub>-ZSM-5 zeolite base is used to produce light olefins in the process of converting ethylene to propylene, as well as copper oxide metal to improve the catalyst performance. After loading the copper oxide metal by inoculation, the modified catalyst was investigated for accurate determination of the specification by XRD, SEM, BET and FT-IR analyzes. The activity of this catalyst was evaluated in the process of ethylene to propylene conversion in a reactor under constant operational conditions (temperature 400 °C, pressure 1 atm, and feed flow rate of 0.5cc / min of pure ethylene), which also shows the results of tests of catalyst activity evaluation. The modified catalyst of selectivity of ethylene and propylene will increase as the temperature rises and the maximum selectable at 400 °C will be achieved.

**Keywords:** ethylene to propylene process, fixed-bed reactor, NH<sub>4</sub>-ZSM-5 catalyst.